



## Étude quantitative et Génération aléatoire

### Idée

- (ré-)interpréter les objets syntaxiques et sémantiques en termes de **structures combinatoires**
- utiliser les outils de la **combinatoire analytique** (séries génératrices, etc.) pour les étudier quantitativement
- en déduire des **algorithmes efficaces de génération aléatoire** permettant d'analyser de façon probabiliste les structures sémantiques (généralement de taille exponentielle) sans les construire explicitement

### Outils d'analyse

- Combinatoire analytique
- Modélisation algorithmique
- **Points forts de l'étude quantitative**
  - Modélisation via des structures combinatoires complexes
  - Analyse en moyenne de classes de grands graphes
- **Points forts de l'algorithmique**
  - Génération aléatoire uniforme : méthode récursive, de Boltzmann ou ad hoc
  - Efficacité en temps et mémoire

### Notre contribution

- Développements d'outils pour la Combinatoire Analytique
- Développements logiciels (génériques et dédiés) *ArboGen* : <https://github.com/fredokun/arbogen>
- Domaines applicatifs en perspective : model checking statistique
- **Interactions**
  - ANR-MOST – MetACONc (ANR-15-CE40-0014)
  - Spécialistes domaines : grands graphes, tests logiciels

### Théorie de la concurrence

Langages et autres formalismes permettant de caractériser formellement les phénomènes de **concurrency**  $\implies$  parallélisme, non-déterminisme, synchronisation, etc.

Illustrations : diverses **algèbres de processus** simplifiées

Syntaxe un processus est construit via :

- des actions atomiques
- la concaténation
- le parallélisme
- le non-déterminisme
- la synchronisation

Sémantique On s'intéresse aux diverses exécutions d'un processus.

Observation : Explosion Combinatoire

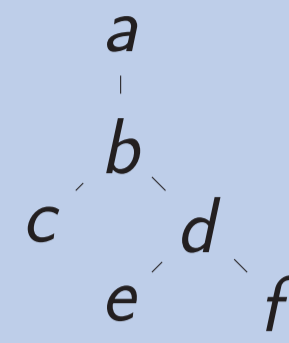
Modélisation contrées sur les contraintes de précedence entre les actions du processus : liens avec la théorie des ordres partiels.

Conséquence : Le comptage du nb d'exécutions est un problème  $\#P$  complet pour un processus arbitraire (Brightwell, Winkler (91)).

## Parallélisme et Non-déterminisme

Un terme syntaxique et sa représentation arborescente :

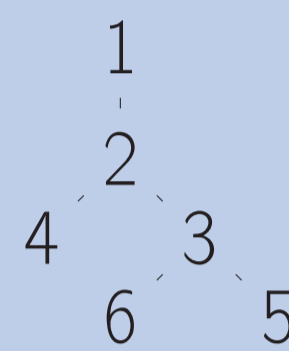
$$P = a.b.(c \parallel d.(e \parallel f))$$



La spécification combinatoire d'un processus est

$$\mathcal{P} = \mathcal{Z} \times \text{Seq}(\mathcal{P}).$$

Une exécution correspond à un étiquetage croissant du processus :  $\langle a, b, d, c, f, e \rangle$



La spécification combinatoire d'une exécution est

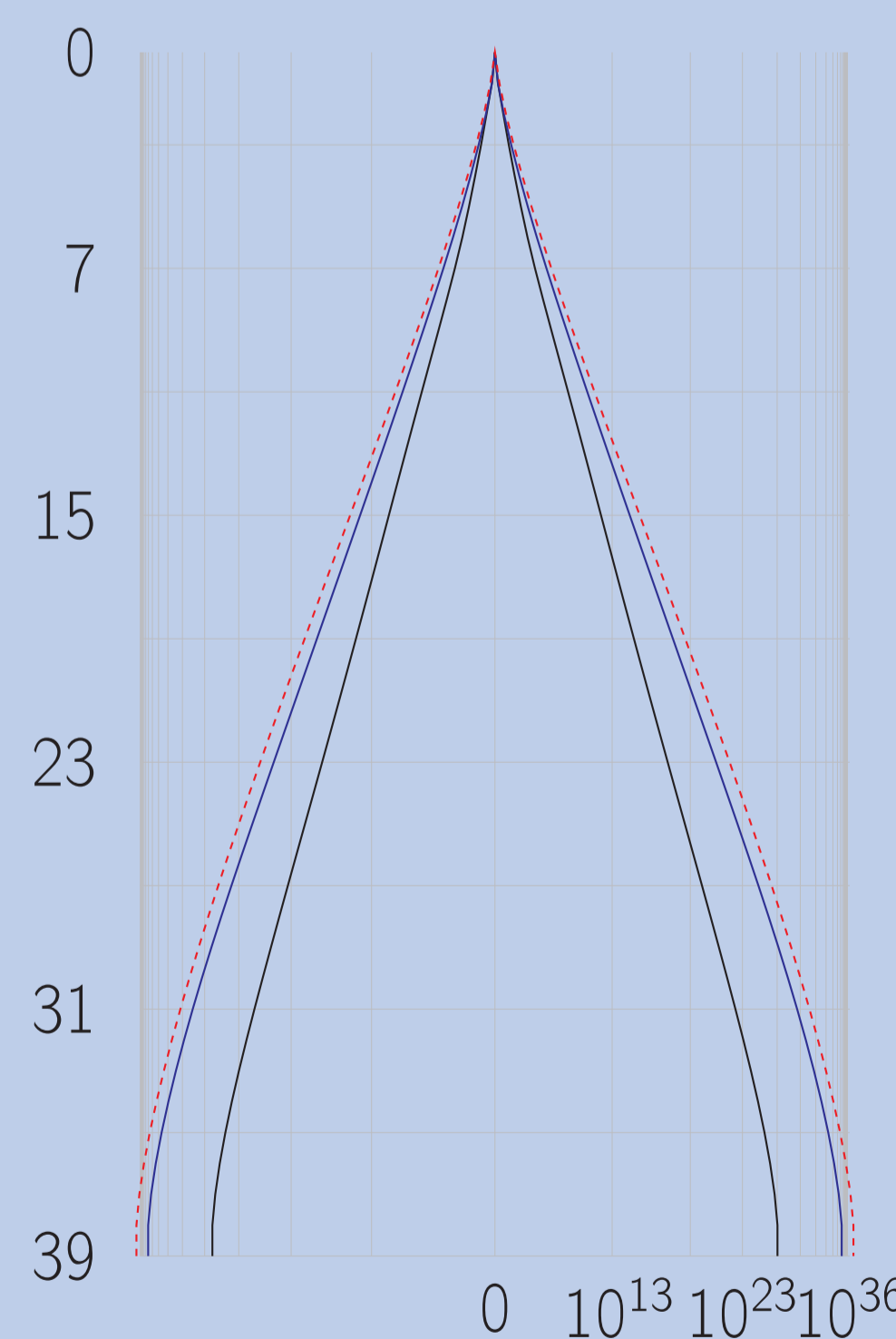
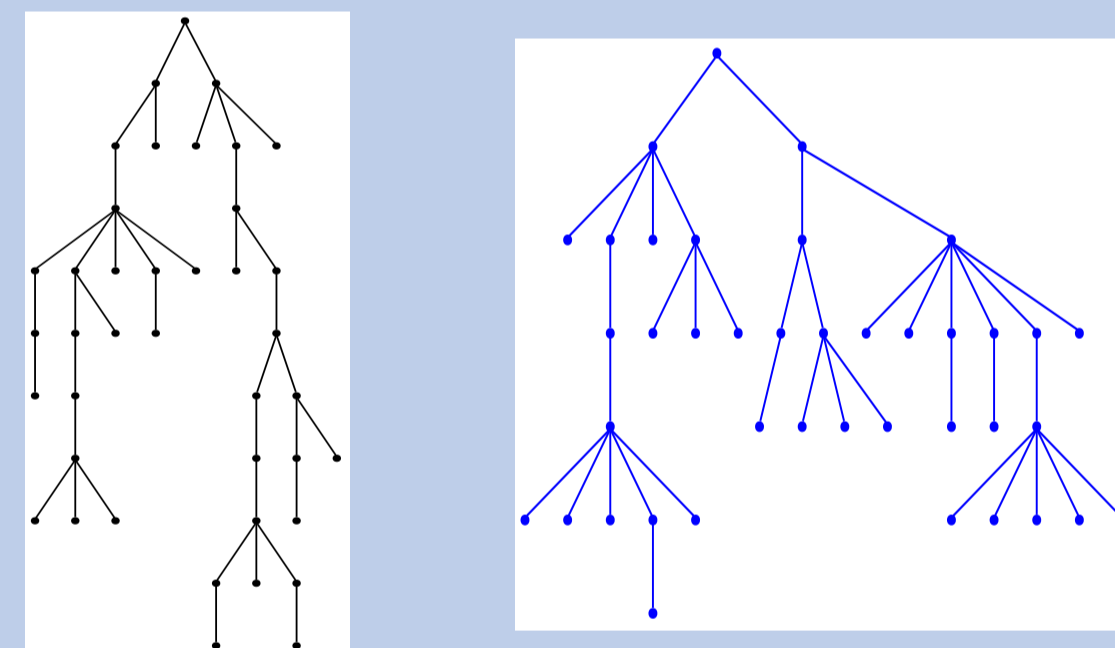
$$\mathcal{I} = \mathcal{Z}^\square \star \text{Seq}(\mathcal{I}).$$

L'opérateur  $\star$  encode la contrainte de croissance.

Le nombre moyen d'exécutions d'un processus de taille  $n$  :

$$\frac{n!}{2^{n-1}} \sim_{n \rightarrow \infty} 2\sqrt{2\pi n} \left(\frac{n}{2e}\right)^n$$

Voici deux arbres typiques de taille 40, suivis de la représentation par arbre préfixe de leurs exécutions.



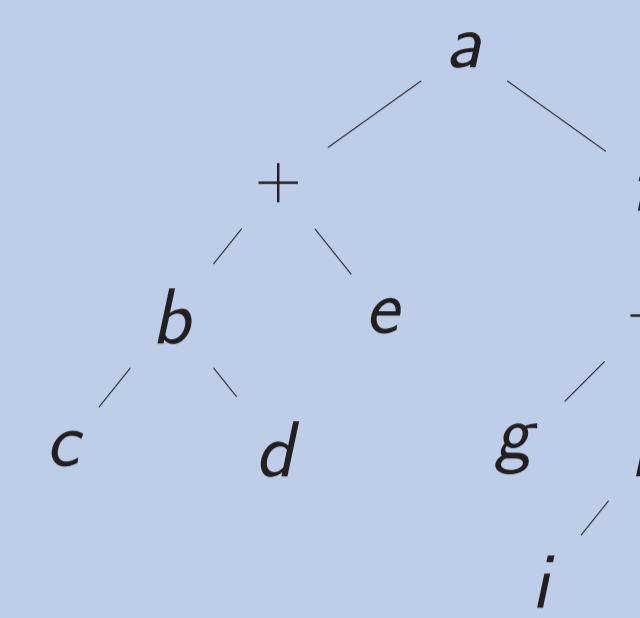
Enumeration and Random Generation of Concurrent Computations : O. Bodini, A. Genitrini et F. Peschanski; Anaysis of Algorithms, 2012.

Associativity for Binary Parallel Processes: a Quantitative Study : O. Bodini, A. Genitrini, N. Rolin et F. Peschanski; Conference on Algorithms and Discrete Applied Mathematics, 2015.

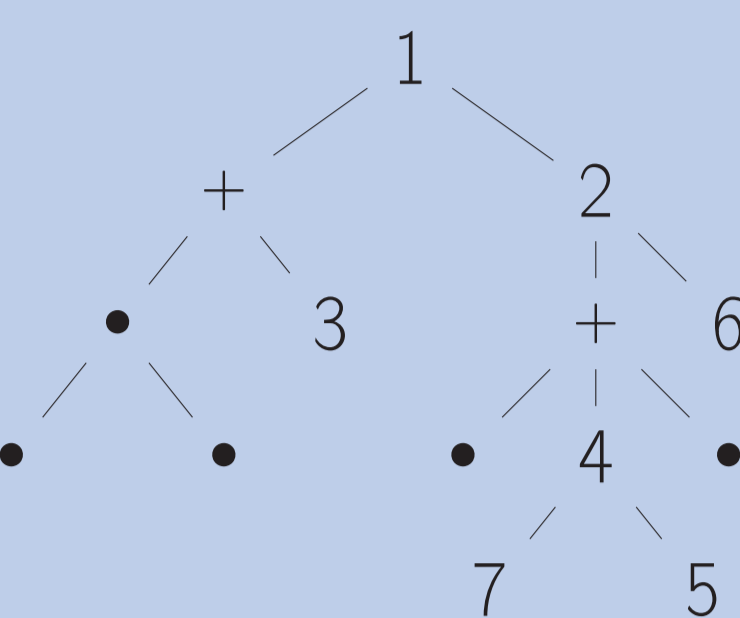
A quantitative study of pure parallel processes :

O. Bodini, A. Genitrini et F. Peschanski; Electronic Journal of Combinatorics, 2016.

Un terme syntaxique :



Une exécution :



La spécification combinatoire d'une exécution est encodée dans la classe  $\mathcal{B}$  telle que :

$$\begin{cases} \mathcal{A} = \mathcal{A}_{\parallel} + \mathcal{A}_+ \\ \mathcal{A}_{\parallel} = \mathcal{Z} \times \text{Seq}(\mathcal{A}) \\ \mathcal{A}_+ = \mathcal{A}_{\parallel} \times \mathcal{A}_{\parallel} \times \text{Seq}(\mathcal{A}_{\parallel}) \end{cases} \quad \begin{cases} \mathcal{B} = \mathcal{B}_{\parallel} + \mathcal{B}_+ \\ \mathcal{B}_{\parallel} = \mathcal{W}^{\text{pw}} \star \mathcal{Z} \times \text{Seq}(\mathcal{B}) \\ \mathcal{B}_+ = (\mathcal{B}_{\parallel} \times \mathcal{A}_{\parallel} \times \text{Seq}(\mathcal{A}_{\parallel})) + (\mathcal{A}_{\parallel} \times \text{Seq}(\mathcal{A}_{\parallel})) \times \mathcal{B}_{\parallel} \times \text{Seq}(\mathcal{A}_{\parallel}) \end{cases}$$

Le nombre moyen d'exécutions d'un processus de taille  $n$  :

$$\Theta(n! (6 - 4\sqrt{2})^n), \text{ où } 6 - 4\sqrt{2} \approx 0.34315 \dots$$

Cette quantité moyenne étant exponentiellement plus petite que dans le cas des processus purement parallèle, l'opérateur de choix non-déterministe engendre un réel effet de coupure dans le nombre d'exécutions des processus.

Génération aléatoire uniforme d'une exécution, pour un processus fixé, en 2 étapes :

- Choisir un seul descendant des nœuds + (avec la distribution adéquate)
- le nombre de possibilités est exponentiel!
- Choisir un étiquetage croissant (formule des équerres)

Dans ce but, on adapte la méthode génération récursive en considérant chaque processus comme la classe combinatoire de ses exécutions :

$$\mathcal{Z}^\square \star ((y_b \mathcal{Z}^\square \star \mathcal{Z}^2 + y_e \mathcal{Z}) \times \mathcal{Z}^\square \star ((y_g \mathcal{Z} + y_h \mathcal{Z}^\square \star \mathcal{Z}^2 + y_k \mathcal{Z}) \times \mathcal{Z})).$$

La traduction via la méthode symbolique donne :

On obtient ainsi la fonction génératrice (exponentielle) énumérant les exécutions :

$$\mathcal{P}(z) = \frac{896z^9}{91} \cdot y_b y_h + \frac{16z^7}{71} \cdot (5y_b(y_g + y_k) + 3y_e y_h) + \frac{8z^5}{51} \cdot y_e(y_g + y_k).$$

### Théorème

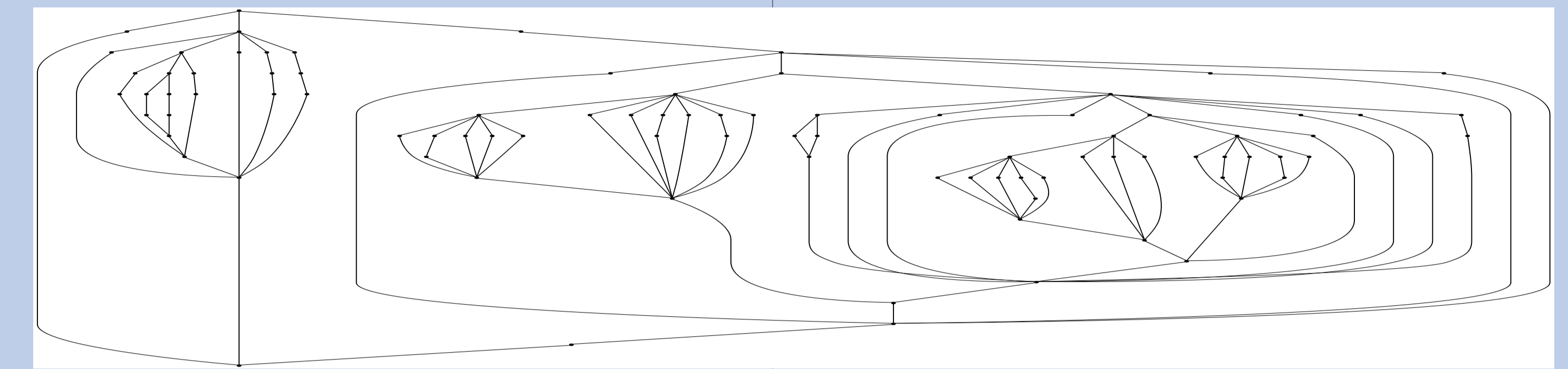
Soit  $P$  un processus de taille  $n$  construit avec les opérateurs de concaténation, de parallélisme et de non-déterminisme.

Le polynôme  $\mathcal{P}(z)$  est construit en  $O(n^2)$  opérations arithmétiques, et en complexité  $O(n^2)$  en espace. Puis, chaque exécution est générée uniformément en  $O(n \log n)$  complexité en temps.

The Combinatorics of Non-determinism :

O. Bodini, A. Genitrini et F. Peschanski; Conference on Foundations of Software Technology and Theoretical Computer Science, 2013.

## Parallélisme et Synchronisation



Processus diamant d'arité arbitraire

La spécification combinatoire d'un diamant binaire est

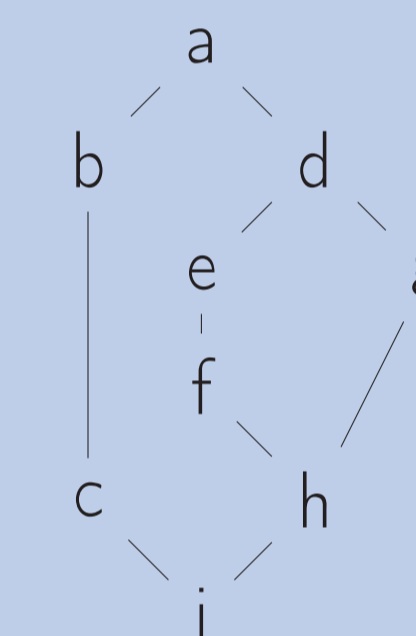
$$\mathcal{D} = \mathcal{Z} + \mathcal{Z} \times (\epsilon + \mathcal{D} \times \mathcal{D}) \times \mathcal{Z}.$$

Ainsi, la spécification des exécutions est

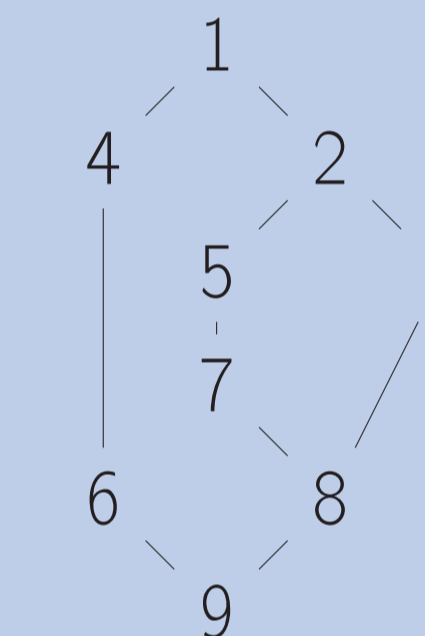
$$\mathcal{S} = \mathcal{Z} + \mathcal{Z}^\square \star (\epsilon + \mathcal{S} + \mathcal{S} \star \mathcal{S}) \star \mathcal{Z}^\square.$$

Les opérateurs  $\star$  et  $\star^\square$  permettent d'encoder le fait que les éléments source et puits aient respectivement la plus petite et la plus grande étiquette.

Un terme syntaxique :



Une exécution :



Cette dernière spécification, encodant les exécutions des processus se traduit en une équation aux dérivées partielles d'ordre 2, et se résout via les fonctions  $\wp$  de Weierstrass.

Le nombre moyen d'exécutions d'un processus diamant binaire de taille  $n$  :

$$\Theta((n+1)! \alpha^n), \text{ où } \alpha \approx 0.13689 \dots$$

Pour ajouter de l'expressivité, nous mettons des processus diamants en série. La méthode symbolique n'est pas assez riche pour spécifier la contrainte de croissance.

Nous introduisons un nouvel opérateur  $\boxtimes$  :  $\mathcal{S}_2 = \mathcal{S} \boxtimes \mathcal{S}$ , qui encode le fait que toutes les étiquettes du premier diamant sont plus petites que les étiquettes du deuxième.

Increasing Diamonds :

O. Bodini, M. Dien, X. Fontaine, A. Genitrini et H.-K. Hwang; Latin American Theoretical INformatics Symposium, 2016.

The Ordered and Colored Products in Analytic Combinatorics: Application to the Quantitative Study of Synchronizations in Concurrent Processes :

O. Bodini, M. Dien, A. Genitrini et F. Peschanski; Meeting on Analytic Algorithmics and Combinatorics, 2017.

Avec ce nouvel opérateur, on peut spécifier les processus Fork/Join

$$\mathcal{F} = \mathcal{Z} + \mathcal{Z} \times \mathcal{F} + \mathcal{Z} \times (\mathcal{F} \times \mathcal{F}) \times \mathcal{Z}.$$

La spécification des exécutions est

$$\mathcal{T} = \mathcal{Z} + \mathcal{Z}^\square \star \mathcal{T} + \mathcal{Z}^\square \star (\mathcal{T} \star \mathcal{T}) \star \mathcal{Z}^\square.$$

En adaptant les spécifications, en faisant intervenir des actions muettes, on est en mesure d'encoder tout processus série-parallèle.

On obtient un algorithme bottom-up de génération uniforme d'exécutions d'un processus Fork/Join.

function RandExec(P)

```

if P = \epsilon then return []
else if P = \bullet_x then return [x]
else if P = \bullet_x . T then return cons(x, RandExec(Q))
else if P = \square . (L \parallel R) . T then
  h := Shuffle(RandExec(L), RandExec(R))
  t := RandExec(T)
  if \square = \bullet_x then return concat(cons(x, h), t)
  else return concat(h, t)
    
```

En ajustant la fonction Shuffle, on obtient un algorithme entropique en nombre de bits aléatoires consommés.

Entropic Uniform Sampling of Linear Extensions in Series-Parallel Posets :

O. Bodini, M. Dien, A. Genitrini et F. Peschanski; International Computer Science Symposium in Russia, 2017.

### Travaux en cours et Perspectives

- Étude combinatoire de structures de graphes dirigés acycliques étiquetés de façon croissante
- Étude de classes de processus au-delà du cadre série-parallèle : processus cordaux, cycle-free, ...
- Développement d'un prototype de model-checker statistique proposant un langage d'entrée inspiré de Promela de l'outil Spin
- Compression des arbres préfixe des exécutions